

для звуковых или инфранизких частот. Задержка сигналов по времени осуществляется с помощью записи их на магнитную ленту и последующего воспроизведения разнесенными приемниками (аналогично способу, описанному в работах [2, 3]). При работе в области инфразвуковых частот применялась амплитудная модуляция. Область рабочих частот перемножающего и усредняющего блока 0 — 15 кГц.

Работа электромеханического устройства с коррелятором показала, что оно вполне удовлетворяет требованиям, предъявляемым к прибору средней точности. В нашем случае погрешность перемножающего устройства была значительно меньше погрешностей других узлов коррелятора. Аналогичные приборы могут быть применены и при ряде других измерений.

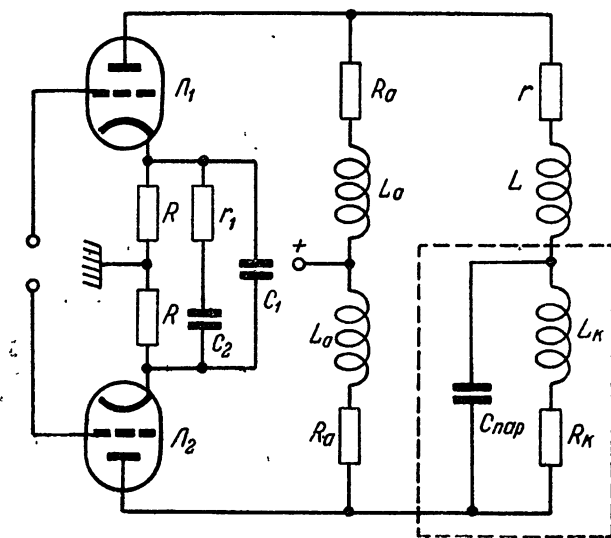


Рис. 2. Схема усилителя:

L_k, R_k, C_k — эквивалентные параметры одной из обмоток перемножающего элемента, лампы Λ_1, Λ_2 типа 6П9 в триодном включении; $R = 1$ ком, $R_a = 3$ ком; $L_a/R_a = (L + L_k) / (r + R_k)$, цепочка r, C_1, C_2 подбирается при наладке.

В заключение автор выражает глубокую благодарность С. П. Стрелкову за внимание и помощь в работе.

ЛИТЕРАТУРА

1. В. В. Солодовников, Введение в статистическую динамику систем автоматического управления, ГИТТЛ, М.—Л., 1952.
2. Ю. В. Новиков, Магнитный коррелограф, сер. Приборы и стенды, тема № 6, № ПС, 55—504, 1956.
3. J. N. Holmes, J. M. C. Duces, Proc. IEE, 101, 225 (1954).

Московский государственный университет

Поступила в редакцию
22 декабря 1958 г.

ВЗАИМОДЕЙСТВИЕ ЭЛЕКТРОННЫХ ПОТОКОВ РАЗЛИЧНЫХ НАПРАВЛЕНИЙ

В. М. Лопухин

Целью настоящей заметки является изучение электромагнитных волн в системе электронных потоков, имеющих различные направления. Решение одной из частных задач этого типа было ранее дано в работе [1]. В настоящем письме задача решается с помощью более общего метода, основанного на совместном решении линеаризованного кинетического уравнения для функции распределения f и уравнения Пуассона:

$$\frac{\partial f}{\partial t} + \mathbf{v} \operatorname{grad}_r f + \frac{eE}{m} \operatorname{grad}_v f_0 = 0; \quad (1)$$

$$\operatorname{div} E = \frac{-1}{\epsilon_0} \rho; \quad (2)$$

где e и m — заряд и масса электрона, \mathbf{v} — его скорость, $f(\mathbf{r}, \mathbf{v}, t)$ и $f_0(v)$ — переменная и постоянная составляющие функции распределения электронов по скорости, E ($\text{в} \cdot \text{м}^{-1}$) — напряженность электрического поля, ρ ($\text{кул} \cdot \text{м}^{-3}$) — плотность электронного заряда, $\epsilon_0 = 8,86 \cdot 10^{-12} \text{ вб} \cdot \text{м}^{-1}$.

Поскольку уравнение (1) записано в нерелятивистском приближении, магнитное поле и вихревое электрическое поле можно не учитывать; кроме того, при написании уравнения (1) предполагается, что $|f| \ll f_0$, $|\text{grad}_{\mathbf{v}} f| \ll |\text{grad}_{\mathbf{v}} f_0|$.

Электронные потоки будем считать однородными, полагая $f_0(v)$ не зависящей от \mathbf{r} .

Предполагая, что $f(\mathbf{r}, \mathbf{v}, t)$ и $E(\mathbf{r}, t)$ пропорциональны множителю $e^{i(\omega t - \alpha x - \beta y - \gamma z)}$, и находя условие совместности уравнений (1) и (2), приходим к дисперсионному уравнению [2]

$$\alpha^2 + \beta^2 + \gamma^2 = - \frac{e^2}{m\epsilon_0} \int_{-\infty}^{\infty} \int_{-\infty}^{\infty} \int_{-\infty}^{\infty} \frac{\alpha \frac{df_0}{dv_x} + \beta \frac{df_0}{dv_y} + \gamma \frac{df_0}{dv_z}}{\omega - \alpha v_x - \beta v_y - \gamma v_z} dv_x dv_y dv_z. \quad (3)$$

Дисперсионное уравнение (3) устанавливает связь между постоянными распространения α , β и γ волнового процесса и функцией распределения $f_0(v_x, v_y, v_z)$. Функцию $f_0(v_x, v_y, v_z)$ следует считать известной, так как она связана с условиями формирования электронного потока. В общем случае $f_0(v)$ учитывает тепловое движение электронов.

Рассмотрим применение уравнения (3) к различным частным задачам.

1. Пусть n потоков со средними концентрациями N_k ($k = 1, 2, \dots, n$) имеют средние скорости \mathbf{v}_k (v_{xk}, v_{yk}, v_{zk}). Пренебрегая дисперсией скоростей частиц, положим в этом случае

$$f_0(v_x, v_y, v_z) = \sum_{k=1}^n N_k \delta(v_x - v_{xk}) \delta(v_y - v_{yk}) \delta(v_z - v_{zk}). \quad (4)$$

Подставляя (4) в (3), получаем дисперсионное уравнение рассматриваемой задачи

$$1 = \sum_{k=1}^n \frac{\omega_{pk}^2}{(\omega - \alpha v_{xk} - \beta v_{yk} - \gamma v_{zk})^2}, \quad (5)$$

где $\omega_{pk}^2 = e^2 N_k / m\epsilon_0$. Полагая в (5) $n=2$, $\omega_{p1} = \omega_{p2}$, $v_{zk} = 0$ ($k=1,2$) и $v_{y2} = -v_{y1}$, получаем дисперсионное уравнение, исследованное в статье [1].

II. Если $n = n_1 + n_2 + n_3$, причем в n_1 потоках $v_{xk} \neq 0$, $N_k = N_{xk} \neq 0$, $v_{yk} = v_{zk} = 0$, в n_2 потоках $v_{yk} \neq 0$, $N_k = N_{yk} \neq 0$, $v_{xk} = v_{zk} = 0$, и в n_3 потоках $v_{zk} \neq 0$, $N_k = N_{zk} \neq 0$, $v_{xk} = v_{yk} = 0$, то уравнение (5) можно записать в виде:

$$1 = \sum_{i=1}^{n_1} \frac{\omega_{xi}^2}{(\omega - \alpha v_{xi})^2} + \sum_{i=1}^{n_2} \frac{\omega_{yi}^2}{(\omega - \beta v_{yi})^2} + \sum_{i=1}^{n_3} \frac{\omega_{zi}^2}{(\omega - \gamma v_{zi})^2}, \quad (6)$$

где

$$\omega_{xi}^2 = \frac{e^2 N_{xi}}{m\epsilon_0}; \quad \omega_{yi}^2 = e^2 N_{yi} / m\epsilon_0; \quad \omega_{zi}^2 = e^2 N_{zi} / m\epsilon_0.$$

Уравнение (6) является обобщением дисперсионного уравнения лампы с n_1 лучами, движущимися в направлении оси x .

Пусть потоки в направлении осей y и z модулированы по плотности с периодами $2\pi/\beta$ и $2\pi/\gamma$, где β и γ — действительные величины. Применяя графический метод анализа корневой дисперсионного уравнения (6) (см., например, [3,4]), легко убедиться, что в этом случае наличие перпендикулярных потоков облегчает появление комплексно-сопряженных корней уравнения (6), соответствующих затухающим и нарастающим вдоль оси x решениям. В частности, при определенных условиях возможны нарастающие решения в системе двух взаимно-перпендикулярных потоков.

III. Рассмотрим ту же задачу, что и в пункте 1, учитывая, однако, тепловой разброс скоростей Δv_{xk} , Δv_{yk} , Δv_{zk} в электронных потоках. В этом случае в грубом приближении можно положить:

$$f_0(v_x, v_y, v_z) = \sum_{k=1}^n N_k \prod (v_x, \Delta v_{xk}) \prod (v_y, \Delta v_{yk}) \prod (v_z, \Delta v_{zk}); \quad (7)$$

$$\prod (v_x, \Delta v_{xk}) = \begin{cases} 0 & \text{для } -\infty < v_x < v_x - \Delta v_{xk}/2 \\ 1/\Delta v_{xk} & \text{для } v_x - \Delta v_{xk}/2 \leq v_x \leq v_x + \Delta v_{xk}/2 \\ 0 & \text{для } v_x + \Delta v_{xk}/2 < v_x < \infty \end{cases} \quad (6)$$

Выражения для $\prod (v_y, \Delta v_{yk})$ и $\prod (v_z, \Delta v_{zk})$ получаются заменой в (8) индекса x на индексы y и z соответственно.

Подставляя (7) в (3) и интегрируя, имеем:

$$1 = \sum_{k=1}^n \frac{\omega_{pk}^2}{b_k^2} \left[1 + \frac{a_{1k}^2}{b_k^2} + \frac{a_{2k}^2}{b_k^2} + \frac{a_{3k}^2}{b_k^2} + 0 \left(\frac{a_{ik}^4}{b_k^4} \right) \right], \quad (9)$$

где

$$b_k = \omega - \alpha v_{xk} - \beta v_{yk} - \gamma v_{zk};$$

$$a_{1k} = \alpha \Delta v_{xk}/2; \quad a_{2k} = \beta \Delta v_{yk}/2; \quad a_{3k} = \gamma \Delta v_{zk}/2$$

$0 \left(\frac{a_{ik}^4}{b_k^4} \right)$ — остаточные члены, имеющие порядок $a_{ik}^4/b_k^4 \ll 1$.

Применяя уравнение (9) к задаче о взаимодействии двух электронных потоков с одинаковой средней концентрацией частиц в потоках $N_1 = N_2$, одинаковой средней скоростью потоков $v_{x1} = v_{x2}$ в направлении оси x и скоростями v_{y1} и $-v_{y1}$ в направлении оси y , с разбросом скоростей электронов в потоках Δv_{x1} и Δv_{y1} , можно убедиться в том, что разброс электронов по скоростям уменьшает коэффициент нарастания волны в направлении оси x . Этот результат является обобщением задачи, рассмотренной ранее в работе [1].

ЛИТЕРАТУРА

1. J. R. Pierce and L. R. Walker, BSTJ, **25**, 109 (1956).
2. А. А. Власов, ЖЭТФ, **8**, 291 (1938).
3. М. И. Каганов, ЖТФ, **23**, 514 (1953).
4. В. М. Лопухин и Ю. Д. Самородов, ЖТФ, **25**, 1265 (1955).

Московский государственный
университет

Поступила в редакцию
25 декабря 1958 г.

СХЕМА СОКРАЩЕННОГО ДЕЛЕНИЯ ДЛЯ ЦИФРОВЫХ ВЫЧИСЛИТЕЛЬНЫХ МАШИН ПОСЛЕДОВАТЕЛЬНОГО ДЕЙСТВИЯ

Ю. Л. Кетков

Идея, которая реализуется предлагаемой схемой, достаточно подробно описана в [1] и [2]. Однако для построения схемы сокращенного деления авторы этих работ требуют, чтобы делитель был нормализован (т. е. содержал единицу в старшем разряде) и чтобы деление выполнялось в варианте со сдвигом остатка влево.

Описываемая в данной статье схема предполагает представление чисел в прямых кодах с фиксированной в любом месте запятой и допускает деление как со сдвигом остатка, так и со сдвигом делителя, не требуя нормализации последнего.

В качестве арифметических регистров используются рециркуляционные регистры, выполненные на магнитном барабане [3]. В цепь рециркуляции регистра включена цепочка динамических триггеров, с помощью которых можно изменить длину рециркуляционной петли и, тем самым, осуществлять сдвиг содержимого регистра сразу на несколько разрядов в ту или иную сторону.

В схеме имеются регистры делимого (P_1), делителя (P_2), результата (P_3) и управляющий регистр (P_4). Числа в регистрах циркулируют без знаков. Знак результата формируется специальной схемой и присваивается результату после выполнения операции. Одновременно с вводом чисел в регистры P_1 и P_2 в управляющий регистр P_4 вводится код, имеющий только одну единицу в разряде, соответствующем позиции 2⁰. Операция деления осуществляется в два этапа. На первом этапе производится „выравнивание порядков“ — сдвиг делителя влево до тех пор, пока его старший разряд не окажется под старшим разрядом делимого. Одновременно происходит сдвиг влево на столько же разрядов управляющего кода в P_4 . Если делитель оказывается больше делимого, то „выравнивание порядков“ не происходит. Следующий этап — собственно